



第四章 放大电路的频率响应

§ 4.1 频率响应的基本概念

§ 4.2 晶体管的高频等效电路

§ 4.3 放大电路的频率响应





§ 4.1 频率响应的基本概念

- 一、本章要研究的问题
- 二、高通电路和低通电路
- 三、放大电路中的频率参数



一、研究的问题

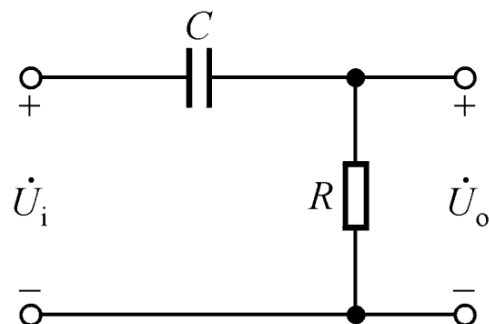
放大电路对信号频率的适应程度，即信号频率对放大倍数的影响。

由于放大电路中耦合电容、旁路电容、半导体器件极间电容的存在，使放大倍数为频率的函数。

在使用一个放大电路时应了解其信号频率的适用范围，在设计放大电路时，应满足信号频率的范围要求。

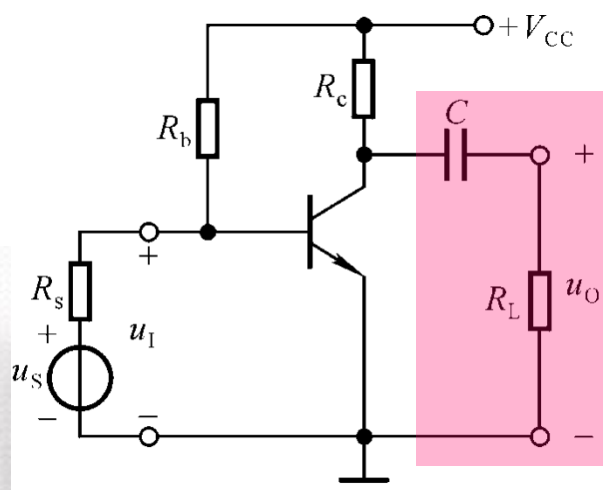
二、高通电路和低通电路

1. 高通电路: 信号频率越高, 输出电压越接近输入电压。



$$\dot{A}_u = \frac{\dot{U}_o}{\dot{U}_i} = \frac{R}{\frac{1}{j\omega C} + R} = \frac{j\omega RC}{1 + j\omega RC}$$

\dot{U}_o 超前 \dot{U}_i , 当 $f \rightarrow 0$ 时,
 $|\dot{U}_o| \rightarrow 0$, \dot{U}_o 超前 \dot{U}_i 90° .



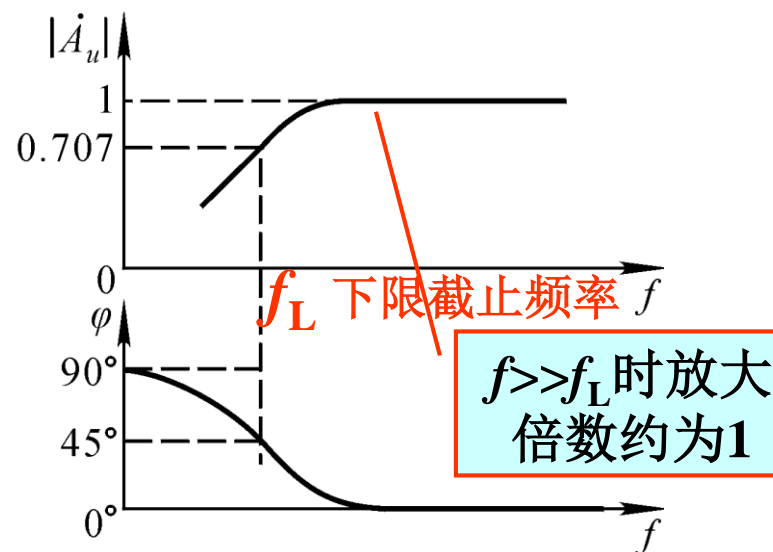
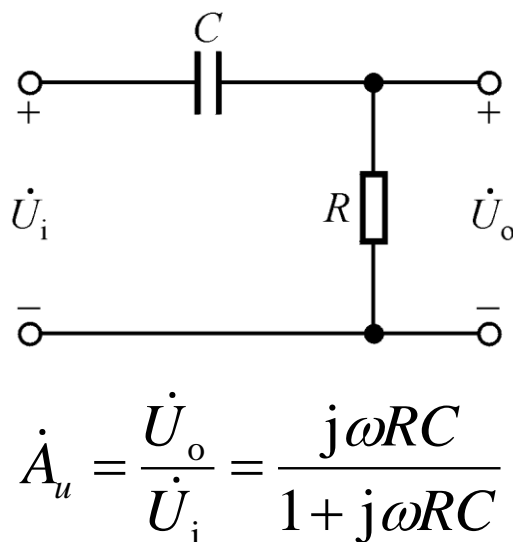
高通
电路

使输出电压幅值下降到
70.7%, 相位超前 45° 的信号
频率为下限截止频率。



二、高通电路和低通电路

高通电路的幅频特性和相频特性



$$\text{令 } f_L = \frac{1}{2\pi RC}, \text{ 则 } \dot{A}_u = \frac{jf/f_L}{1 + jf/f_L}$$

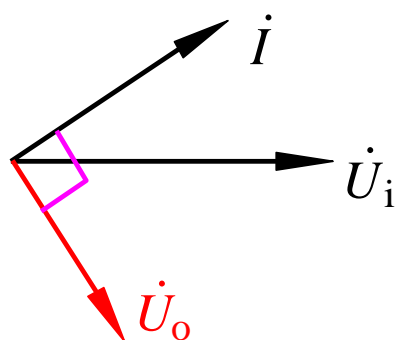
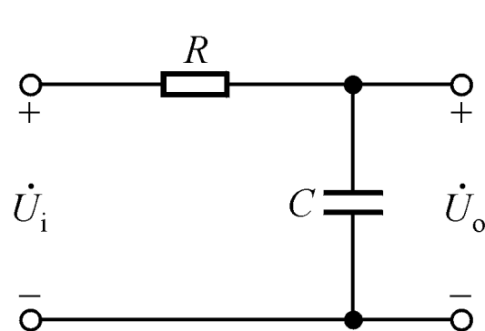


$$\begin{cases} |\dot{A}_u| = \frac{f/f_L}{\sqrt{1 + (f/f_L)^2}} \\ \varphi = 90^\circ - \arctan(f/f_L) \end{cases}$$

低频段放大倍数表达式的特点？ 下限截止频率的特征？

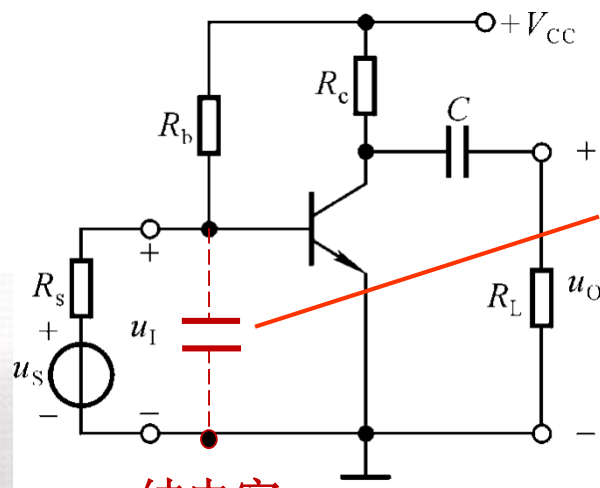
二、高通电路和低通电路

2. 低通电路: 信号频率越低, 输出电压越接近输入电压。



$$\dot{A}_u = \frac{\dot{U}_o}{\dot{U}_i} = \frac{\frac{1}{j\omega C}}{\frac{1}{j\omega C} + R} = \frac{1}{1 + j\omega RC}$$

\dot{U}_o 滞后 \dot{U}_i , 当 $f \rightarrow \infty$ 时,
 $|\dot{U}_o| \rightarrow 0$, \dot{U}_o 滞后 \dot{U}_i 90° .



低通
电路

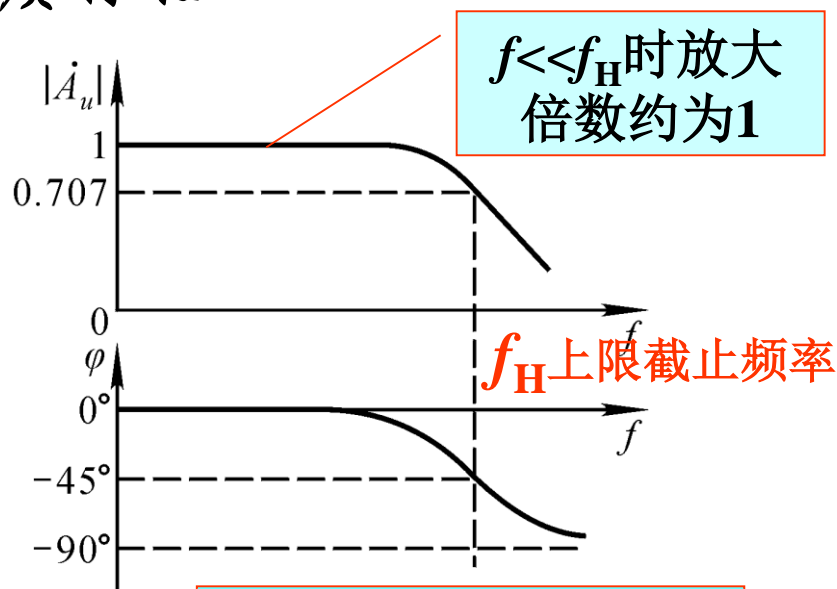
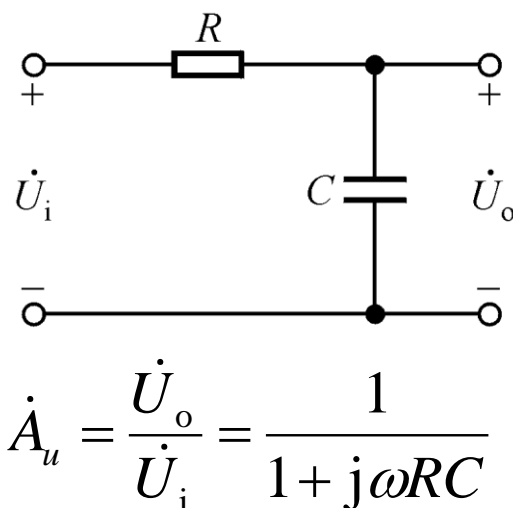
结电容

使输出电压幅值下降到
70.7%, 相位滞后 45° 的信号
频率为上限截止频率。

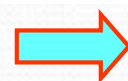


二、高通电路和低通电路

低通电路的幅频特性和相频特性



$$\text{令 } f_H = \frac{1}{2\pi RC}, \text{ 则 } \dot{A}_u = \frac{1}{1 + jf/f_H}$$

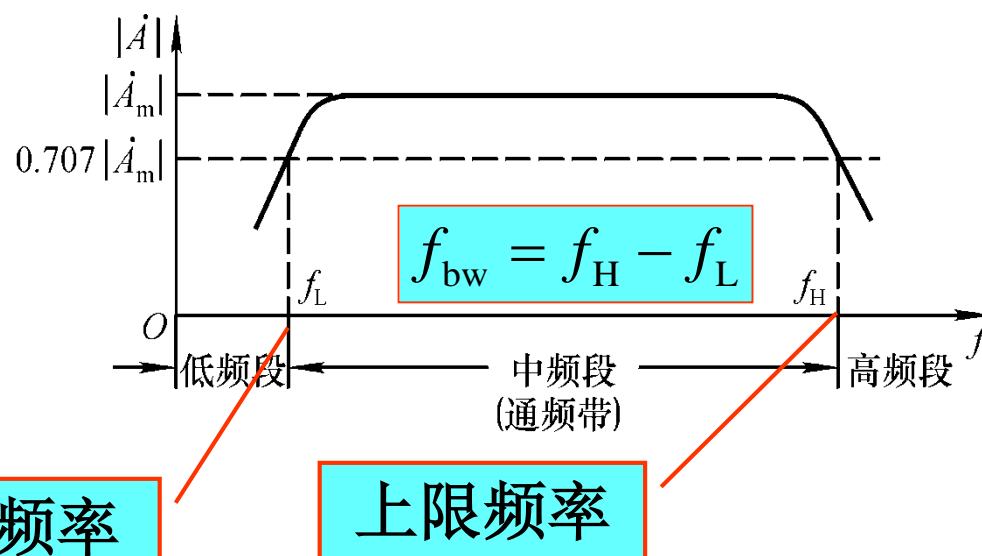
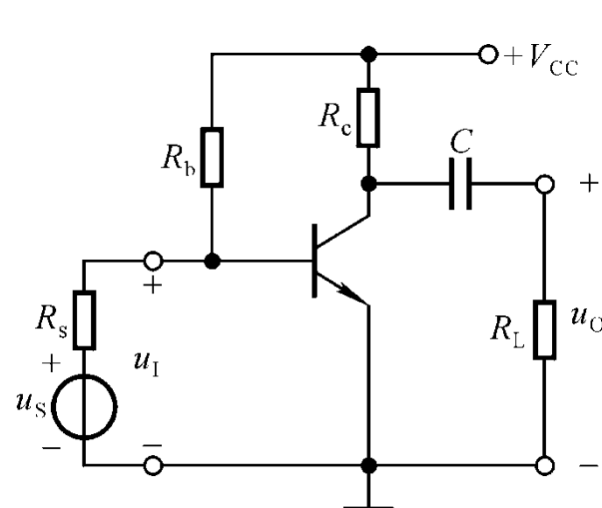


$$\begin{cases} |\dot{A}_u| = \frac{1}{\sqrt{1 + (f/f_H)^2}} \\ \varphi = -\arctan(f/f_H) \end{cases}$$

高频段放大倍数表达式的特点？上限截止频率的特征？



三、放大电路中的频率参数



在低频段，随着信号频率逐渐降低，耦合电容、旁路电容等的容抗增大，使动态信号损失，放大能力下降。

在高频段，随着信号频率逐渐升高，晶体管极间电容和分布电容、寄生电容等杂散电容的容抗减小，使动态信号损失，放大能力下降。



§ 4.2 晶体管的高频等效电路

一、混合 π 模型

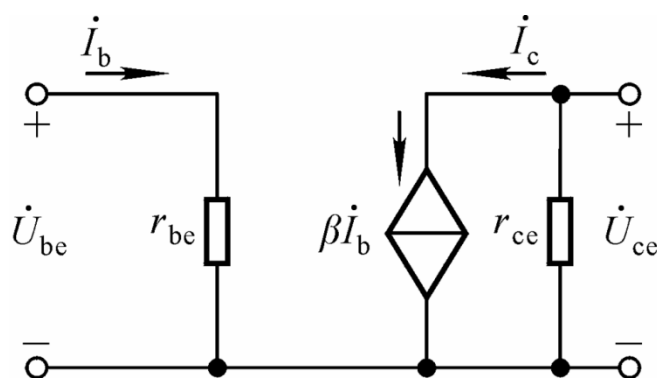
二、电流放大倍数的频率响应

三、晶体管的频率参数



一、混合 π 模型

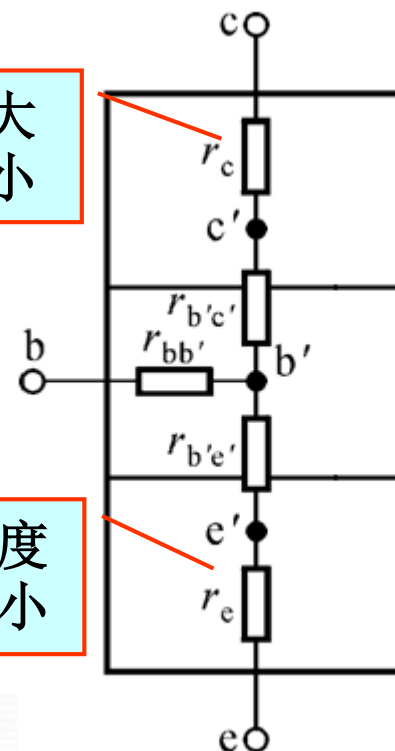
1. 中低频混合模型



i_c 受 i_b 控制的电流源

因面积大
而阻值小

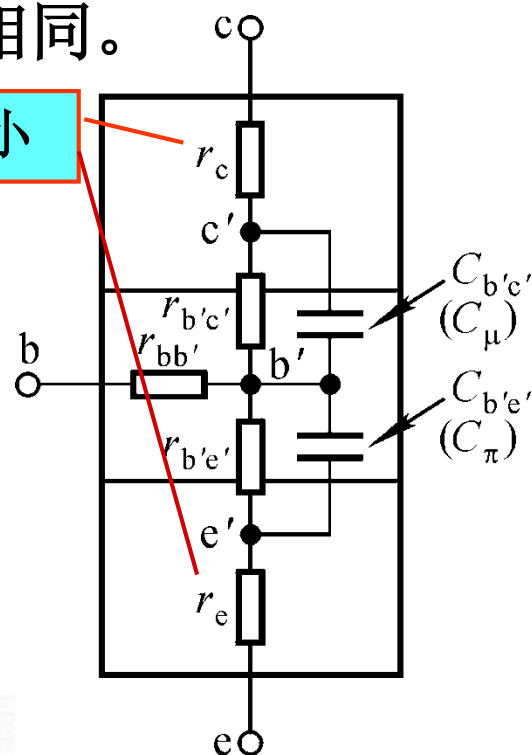
因多子浓度
高而阻值小



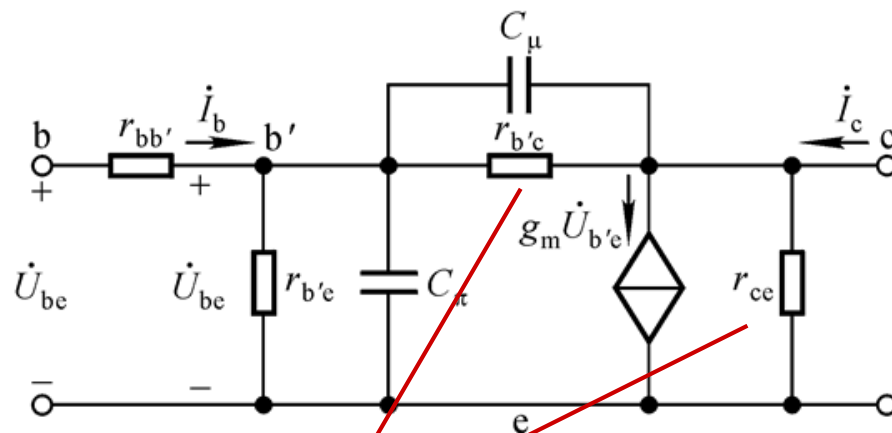
一、混合 π 模型

2. 高频混合模型：由结构而建立，形状像 Π ，参数量纲各不相同。

阻值小

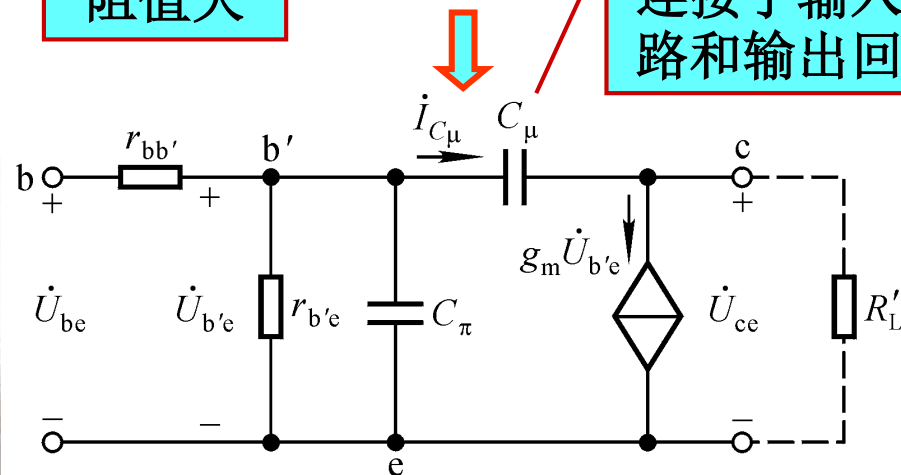


g_m 为跨导，它不随信号频率的变化而变化。



阻值大

连接了输入回路和输出回路



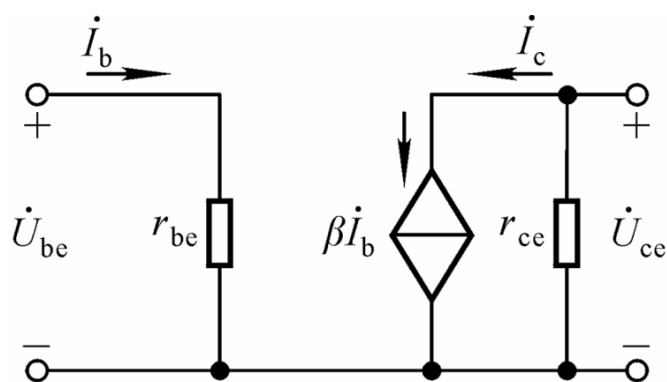


一、混合 π 模型

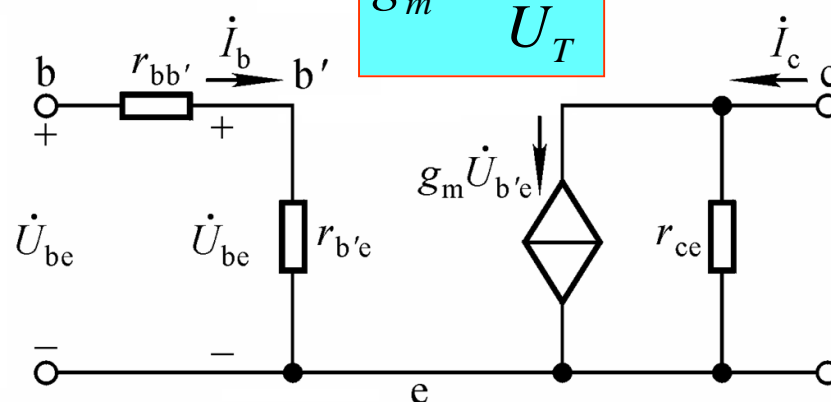
g_m 是什么?

跨导，不随信号
频率变化而变化

$$g_m \approx \frac{I_{EQ}}{U_T}$$



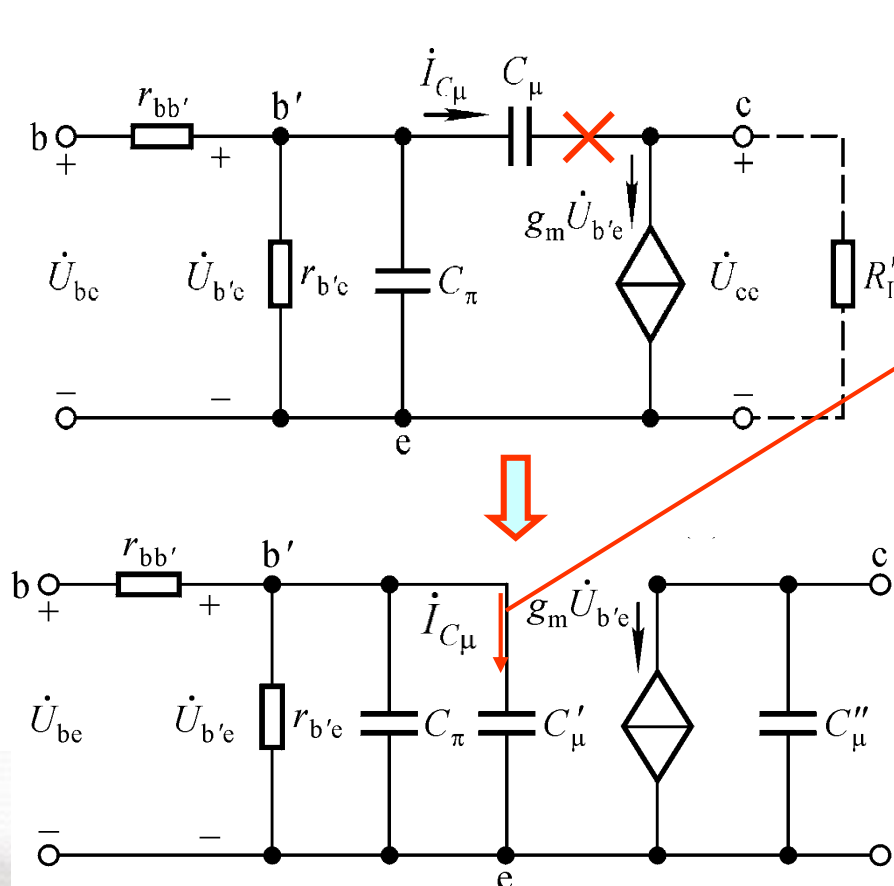
i_c 受 i_b 控制的电流源



i_c 受 $u_{b'e}$ 控制的电流源

$$\dot{I}_c = \beta_0 \dot{I}_b = \beta_0 \frac{\dot{U}_{b'e}}{r_{b'e}} = \frac{\beta_0}{r_{b'e}} \dot{U}_{b'e} = g_m \dot{U}_{b'e} \rightarrow \begin{aligned} g_m &= \frac{\beta_0}{r_{b'e}} \\ r_{b'e} &= (1 + \beta_0) \frac{U_T}{I_{EQ}} \end{aligned}$$

3. 混合π模型的单向化（使信号单向传递）



$$\dot{I}_{C_\mu} = \frac{\dot{U}_{b'e} - \dot{U}_{ce}}{X_{C_\mu}} = (1 - k) \frac{\dot{U}_{b'e}}{X_{C_\mu}}$$

$$k \approx -g_m R'_L$$

等效变换后电流不变

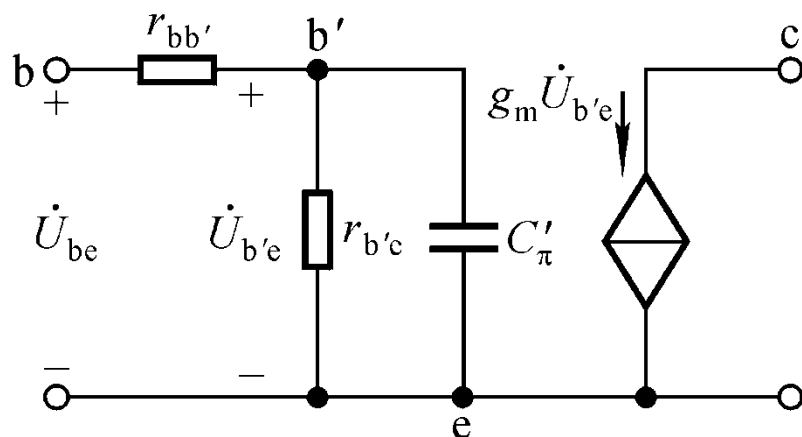
$$X_{C'_\mu} = \frac{\dot{U}_{b'e}}{\dot{I}_{C_\mu}} \approx \frac{X_{C_\mu}}{1 + g_m R'_L}$$

$$C'_\mu \approx (1 + g_m R'_L) C_\mu$$

$$\text{同理可得, } C''_\mu \approx \frac{k-1}{k} \cdot C_\mu$$



4. 晶体管简化的高频等效电路



为什么不考虑 C_μ ?

如何得到模型中的参数?

$r_{bb'}$ 、 C_μ 可从手册查得

$$\beta_0 \dot{I}_b = g_m \dot{U}_{b'e} = g_m \dot{I}_b r_{b'e}$$

$$g_m = \frac{\beta_0}{r_{b'e}} \approx \frac{I_{EQ}}{U_T}$$

$$r_{b'e} = (1 + \beta_0) \frac{U_T}{I_{EQ}}$$

$$C'_\pi = C_\pi + C'_\mu$$

=?

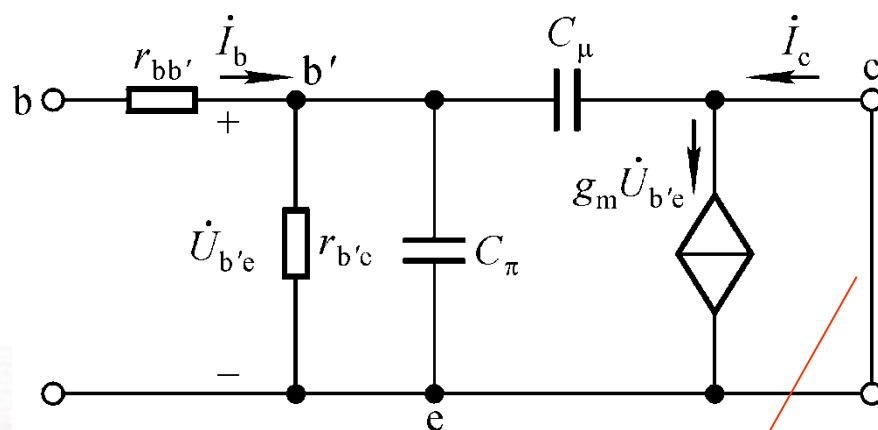


二、电流放大倍数的频率响应

1. 适于频率从0至无穷大的表达式

$$\dot{\beta} = \frac{\dot{I}_c}{\dot{I}_b} \Big|_{U_{CE}}$$

因为 $k = -g_m R'_L = 0$, 所以 $C'_\pi = C_\pi + C_\mu$



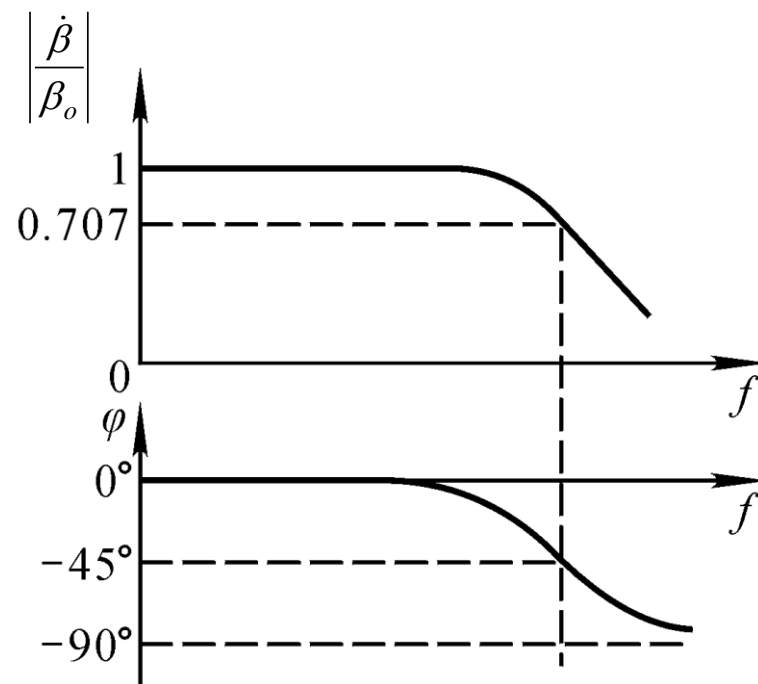
为什么短路?

$$\begin{aligned}\dot{\beta} &= \frac{g_m \dot{U}_{b'e}}{\dot{U}_{b'e} \left[\frac{1}{r_{b'e}} + j\omega (C_\pi + C_\mu) \right]} \\ &= \frac{\beta_0}{1 + j \frac{f}{f_\beta}} \\ f_\beta &= \frac{1}{2\pi r_{b'e} (C_\pi + C_\mu)}\end{aligned}$$



2. 电流放大倍数的频率特性曲线

$$\dot{\beta} = \frac{\beta_0}{1 + j \frac{f}{f_\beta}} \Rightarrow \begin{cases} |\dot{\beta}| = \frac{\beta_0}{\sqrt{1 + (\frac{f}{f_\beta})^2}} \\ \varphi = -\tan^{-1} \frac{f}{f_\beta} \end{cases}$$



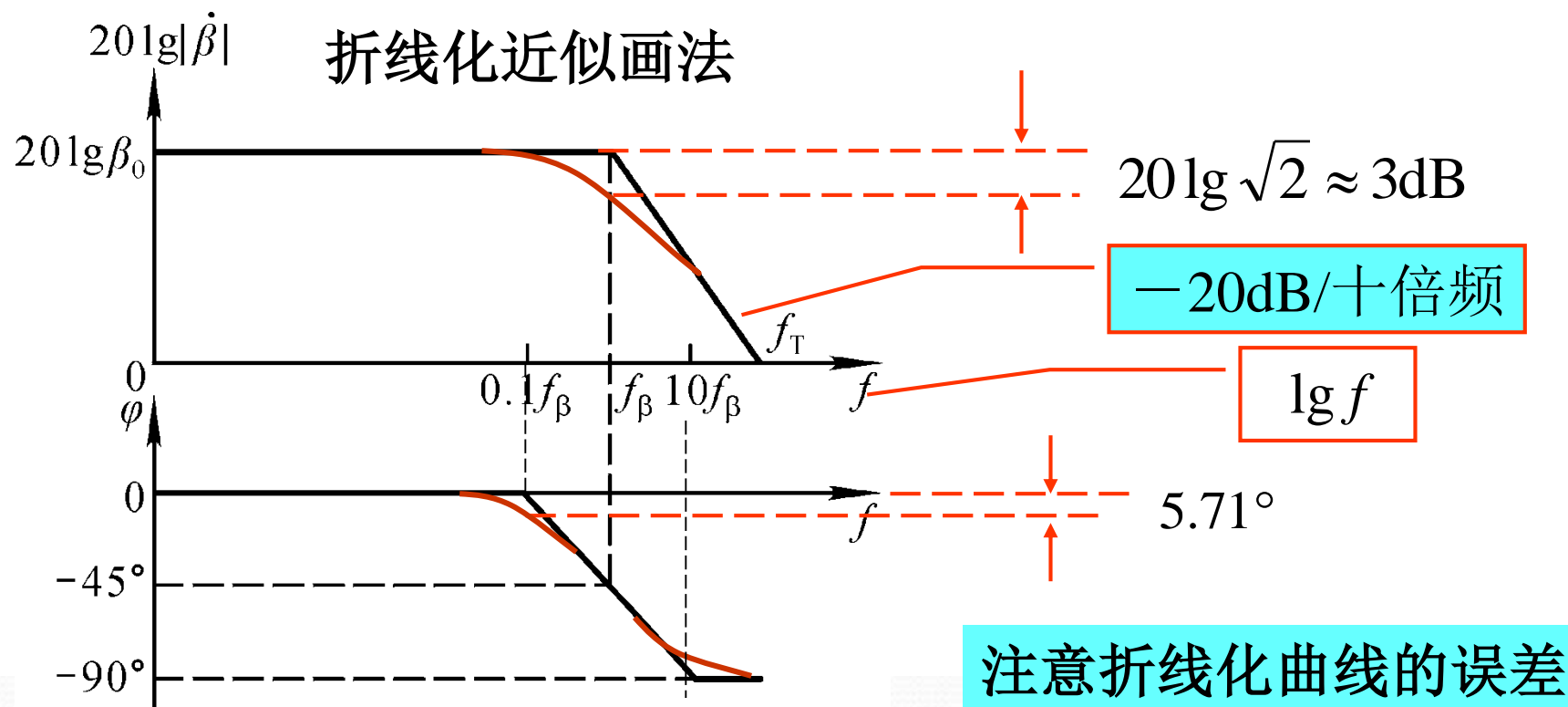
$f \ll f_\beta$ 时, $|\dot{\beta}| \approx \beta_0$;

$f = f_\beta$ 时, $|\dot{\beta}| = \frac{\beta_0}{\sqrt{2}} \approx 0.707 \beta_0$, $\varphi = -45^\circ$;

$f \gg f_\beta$ 时, $|\dot{\beta}| \approx \frac{f_\beta}{f} \cdot \beta_0$; $f \rightarrow \infty$ 时, $|\dot{\beta}| \rightarrow 0$, $\varphi \rightarrow -90^\circ$



3. 电流放大倍数的波特图：采用对数坐标系



采用对数坐标系，横轴为 $\lg f$ ，可开阔视野；纵轴为 $20\lg|\dot{\beta}|$ ，单位为“分贝”（dB），使得“ \times ” \rightarrow “ $+$ ”。



三、晶体管的频率参数

共射截止频率

共基截止频率

特征频率

集电结电容

f_β 、 f_α 、 f_T 、 $C_{ob}(C_\mu)$ 。

使 $|\dot{\beta}|=1$ 时的频率为 f_T

$f_T \approx f_\alpha \approx \beta_0 f_\beta$

$$\dot{\beta} = \frac{\beta_0}{1 + j \frac{f}{f_\beta}} \quad f_\beta = \frac{1}{2\pi r_{b'e}(C_\pi + C_\mu)}$$

手册查得

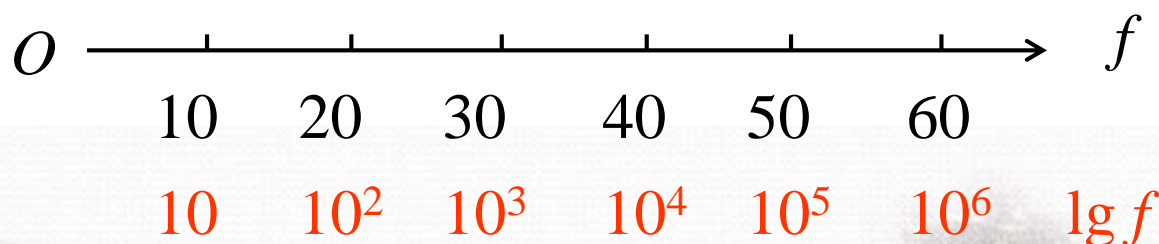
通过以上分析得出的结论：

- ① 低频段和高频段放大倍数的表达式；
- ② 截止频率与时间常数的关系；
- ③ 波特图及其折线画法；
- ④ C_π 的求法。



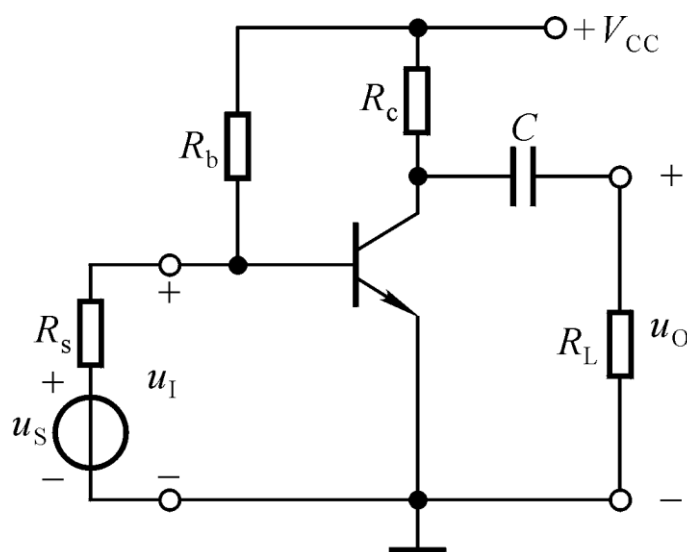
讨论一

1. 若干个放大电路的放大倍数分别为1、10、 10^2 、 10^3 、 10^4 、 10^5 ，它们的增益分别为多少？
2. 为什么波特图开阔了视野？同样长度的横轴，在单位长度不变的情况下，采用对数坐标后，最高频率是原来的多少倍？





讨论二

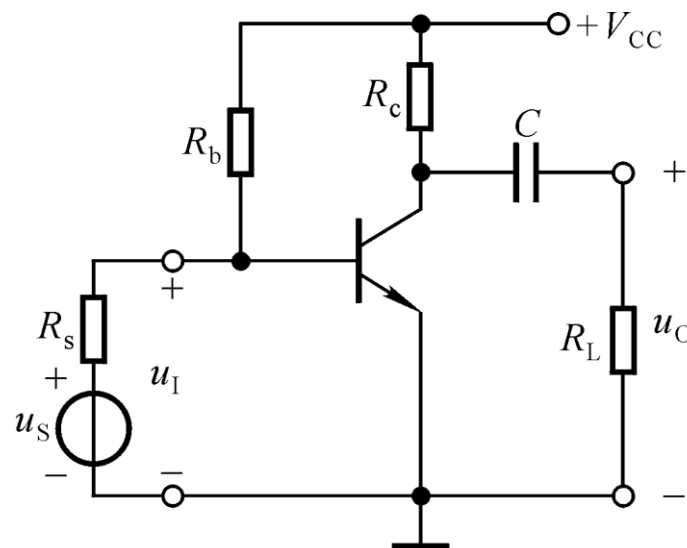


电路如图。已知各电阻阻值；静态工作点合适，集电极电流 $I_{CQ}=2\text{mA}$ ；晶体管的 $r_{bb'}=200\Omega$ ， $C_{ob}=5\text{pF}$ ， $f_\beta=1\text{MHz}$ 。

试求解该电路中晶体管高频等效模型中的各个参数。



讨论二



$$I_{CQ} \rightarrow g_m, r_{b'e}$$

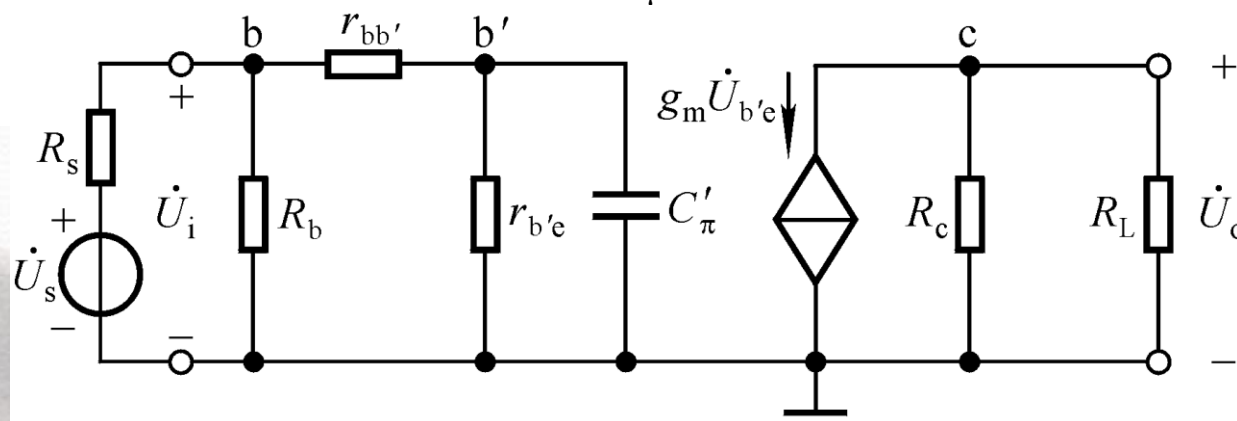
$$C_\mu (\approx C_{ob}), g_m, R_c, R_L \rightarrow C'_\mu$$

$$C'_\mu \approx (1 + g_m R'_L) C_\mu$$

$$f_\beta, C_\mu (\approx C_{ob}), r_{b'e} \rightarrow C_\pi$$

$$C_\pi = \frac{1}{2\pi r_{b'e} f_\beta} - C_\mu$$

$$C'_\mu + C_\pi = C'_\pi$$





§ 4.3 放大电路的频率响应

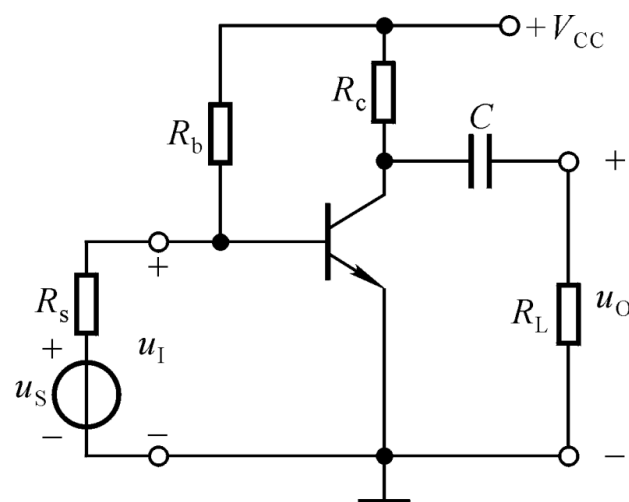
一、单管共射放大电路的频率响应

二、多级放大电路的频率响应

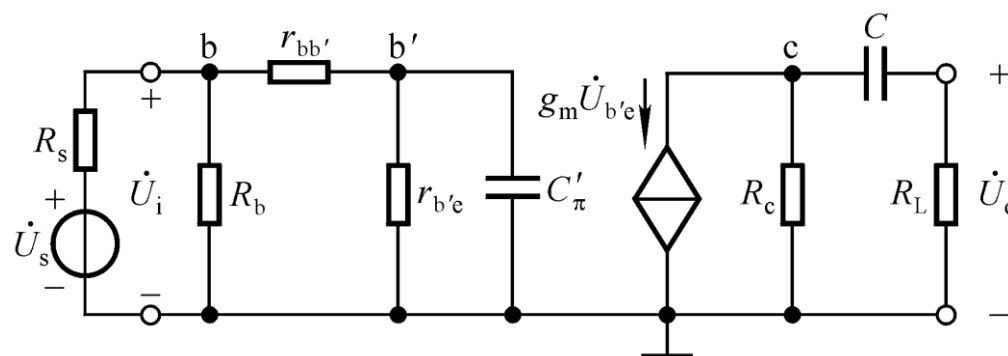




一、单管共射放大电路的频率响应



适用于信号频率从 $0 \sim \infty$ 的
交流等效电路



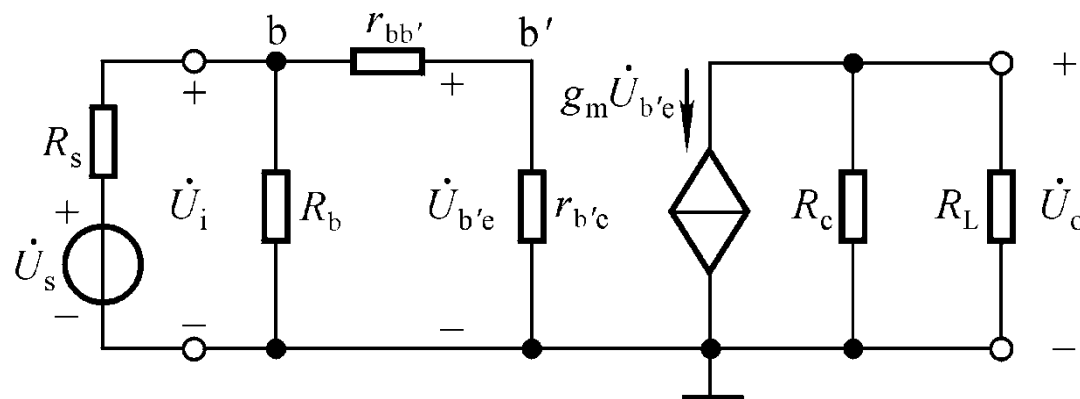
中频段： C 短路， C'_π 开路。

低频段：考虑 C 的影响， C'_π 开路。

高频段：考虑 C'_π 的影响， C 短路。



1. 中频电压放大倍数



$$\begin{aligned}\dot{A}_{usm} &= \frac{\dot{U}_o}{\dot{U}_s} \\ &= \frac{\dot{U}_i}{\dot{U}_s} \cdot \frac{\dot{U}_{b'e}}{\dot{U}_i} \cdot \frac{\dot{U}_o}{\dot{U}_{b'e}}\end{aligned}$$

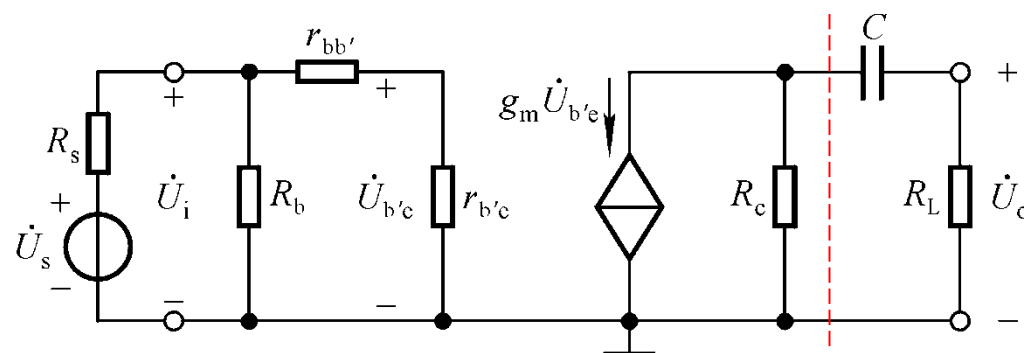
带负载时:

$$\dot{A}_{usm} = \frac{R_i}{R_s + R_i} \cdot \frac{r_{b'e}}{r_{be}} \cdot [-g_m (R_c // R_L)]$$

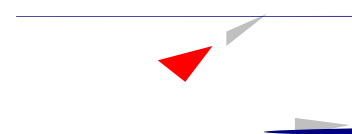
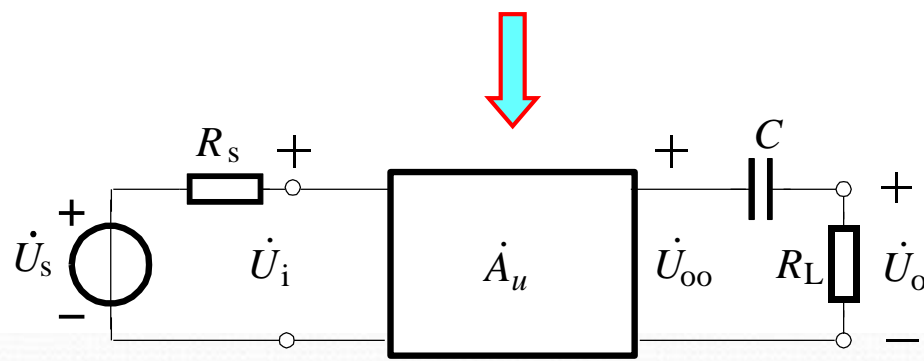
空载时:

$$\dot{A}_{usmo} = \frac{R_i}{R_s + R_i} \cdot \frac{r_{b'e}}{r_{be}} \cdot (-g_m R_c)$$

2. 低频电压放大倍数: 定性分析



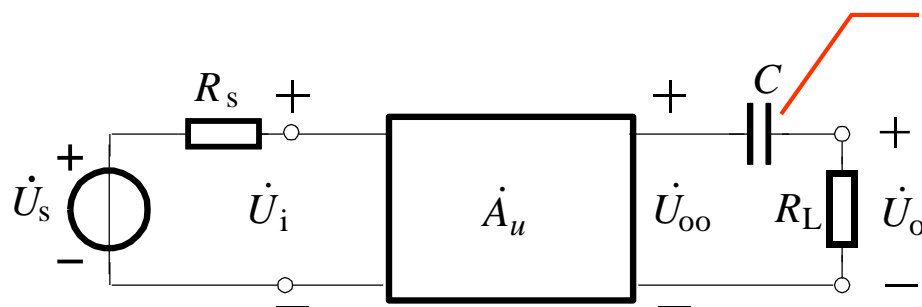
$$\dot{A}_{usmo} = \frac{R_i}{R_s + R_i} \cdot \frac{r_{b'e}}{r_{be}} \cdot (-g_m R_c)$$



\dot{U}_o 超前 \dot{U}_{oo} , 当 $f \rightarrow 0$ 时, $|\dot{U}_o| \rightarrow 0$, \dot{U}_o 超前 \dot{U}_{oo} 90° .



2. 低频电压放大倍数：定量分析



C所在回路的时间常数？

$$A_{usmo} = \frac{R_i}{R_s + R_i} \cdot \frac{r_{b'e}}{r_{be}} \cdot (-g_m R_c)$$

$$\dot{A}_{usl} = \frac{\dot{U}_o}{\dot{U}_s} = \frac{\dot{U}_{oo}}{\dot{U}_s} \cdot \frac{\dot{U}_o}{\dot{U}_{oo}} = \dot{A}_{usmo} \cdot \frac{R_L}{R_c + \frac{1}{j\omega C} + R_L}$$

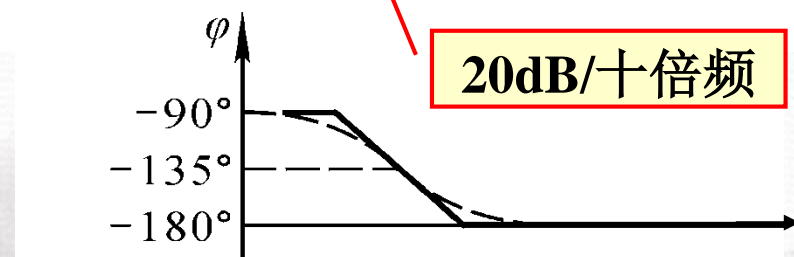
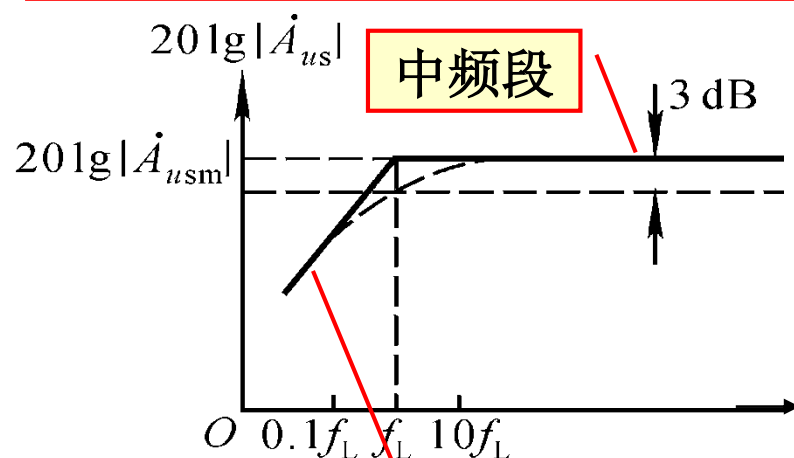
$$\dot{A}_{usl} = \dot{A}_{usmo} \cdot \frac{R_L}{R_c + \frac{1}{j\omega C} + R_L} \cdot \frac{R_c + R_L}{R_c + R_L} = \frac{\dot{A}_{usm}}{1 + \frac{1}{j\omega(R_c + R_L)C}}$$

$$\dot{A}_{usl} = \frac{\dot{A}_{usm}}{1 + f_L/(jf)} = \frac{\dot{A}_{usm}(jf/f_L)}{1 + jf/f_L} \quad f_L = \frac{1}{2\pi(R_c + R_L)C}$$



2. 低频电压放大倍数：低频段频率响应分析

$$\dot{A}_{usl} = \frac{\dot{A}_{usm} (jf/f_L)}{1 + jf/f_L} \quad f_L = \frac{1}{2\pi(R_c + R_L)C}$$



$$\left\{ \begin{array}{l} 20\lg|\dot{A}_{usl}| = 20\lg|\dot{A}_{usm}| - 20\lg \frac{1}{\sqrt{1 + (\frac{f_L}{f})^2}} \\ \varphi = -180^\circ + (90^\circ - \arctan \frac{f}{f_L}) \end{array} \right.$$

$$f \gg f_L \text{ 时, } 20\lg|\dot{A}_{us}| \approx 20\lg \dot{A}_{usm}$$

$$f = f_L \text{ 时, } 20\lg|\dot{A}_{us}| \text{ 下降 } 3\text{dB}, \quad \varphi = -135^\circ$$

$$f \ll f_L \text{ 时, } 20\lg|\dot{A}_{us}| \approx 20\lg(\dot{A}_{usm} \frac{f_L}{f})$$

$$f \rightarrow 0 \text{ 时, } |\dot{A}_{us}| \rightarrow 0, \quad \varphi \rightarrow -90^\circ.$$



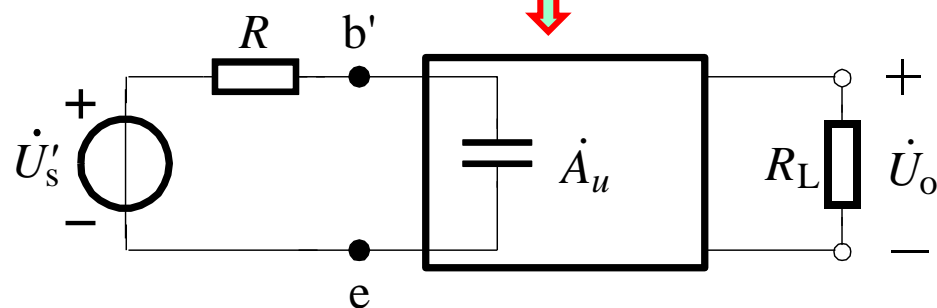
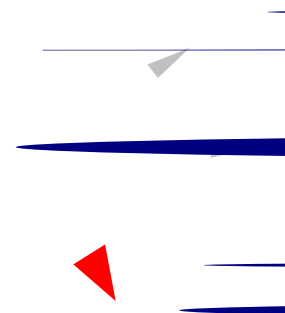
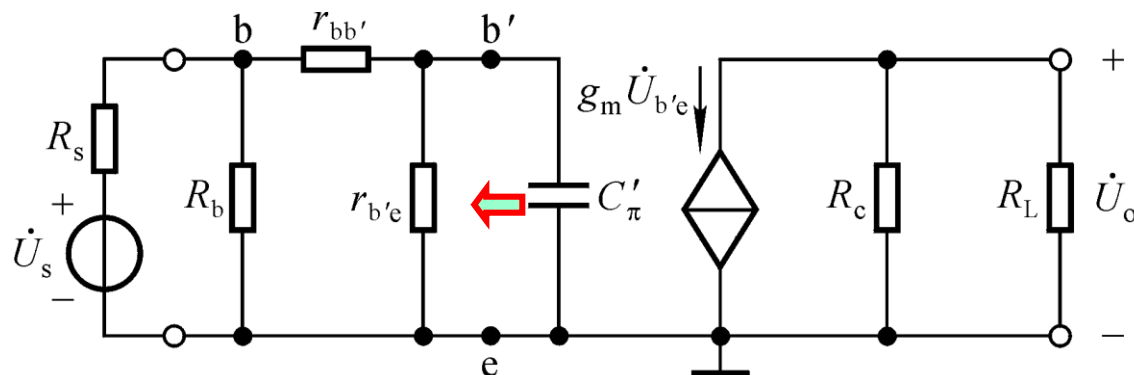
- 截止频率与电容所在回路时间常数的关系

$$f_L = \frac{1}{2\pi(R_c + R_L)C} = \frac{1}{2\pi\tau}$$

- τ 是决定电路截止频率的电容所在回路的时间常数。
- 求解截止频率，关键是找出决定截止频率的电容，然后找出该电容所在回路的等效电阻，并求出时间常数。



3. 高频电压放大倍数：定性分析



U'_{C_π} 滞后 U'_s ,

当 $f \rightarrow \infty$ 时, $|U'_{C_\pi}| \rightarrow 0$,

U'_{C_π} 滞后 U'_s 90° .

$$\frac{\dot{U}'_s}{\dot{U}_s} = \frac{\dot{U}_i}{\dot{U}_s} \cdot \frac{\dot{U}_{b'e}}{\dot{U}_i} = \frac{R_i}{R_s + R_i} \cdot \frac{r_{b'e}}{r_{be}}, \quad R = r_{b'e} // (r_{bb'} + R_b // R_s)$$



3. 高频电压放大倍数：定量分析

$$R = r_{b'e} // (r_{bb'} + R_b // R_s)$$

$$\dot{A}_{usm} = \frac{R_i}{R_s + R_i} \cdot \frac{r_{b'e}}{r_{be}} \cdot [-g_m (R_c // R_L)]$$

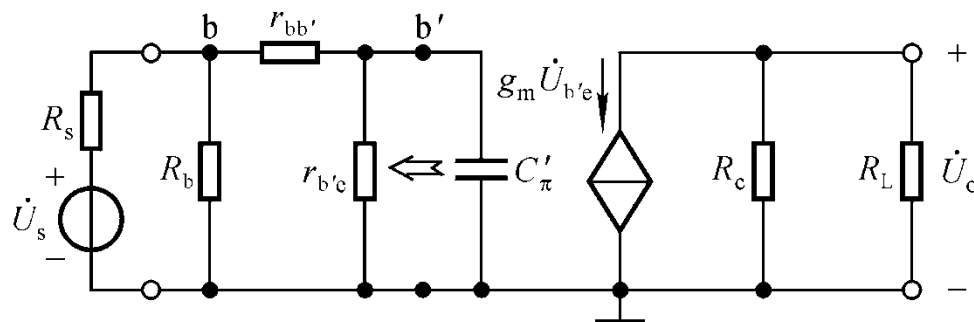
直接得出

$$\dot{A}_{ush} = \frac{\dot{U}_o}{\dot{U}_s} = \frac{\dot{U}_s'}{\dot{U}_s} \cdot \frac{\dot{U}_{C'\pi}}{\dot{U}_s'} \cdot \frac{\dot{U}_o}{\dot{U}_{C'\pi}} = \frac{R_i}{R_s + R_i} \cdot \frac{r_{b'e}}{r_{be}} \cdot \frac{\frac{1}{j\omega C_\pi'}}{R + \frac{1}{j\omega C_\pi'}} \cdot (-g_m R_L')$$

$$\dot{A}_{ush} = \frac{\dot{U}_o}{\dot{U}_s} = \frac{\dot{A}_{usm}}{1 + j \frac{f}{f_H}} \quad f_H = \frac{1}{2\pi RC_\pi'} = \frac{1}{2\pi [r_{b'e} // (r_{bb'} + R_b // R_s)] C_\pi'}$$



3. 高频电压放大倍数：高频段频率响应分析



$$\dot{A}_{ush} = \frac{\dot{U}_o}{\dot{U}_s} = \frac{\dot{A}_{usm}}{1 + j \frac{f}{f_H}}$$

$$f_H = \frac{1}{2\pi [r_{b'e} // (r_{bb'} + R_b // R_s)] C'_\pi}$$

$$\begin{cases} 20\lg|\dot{A}_{ush}| = 20\lg|\dot{A}_{um}| - 20\lg\sqrt{1 + \left(\frac{f}{f_H}\right)^2} \\ \varphi = -180^\circ - \arctan \frac{f}{f_H} \end{cases}$$

$f \ll f_H$ 时,

$$20\lg|\dot{A}_{ush}| \approx 20\lg|\dot{A}_{usm}|;$$

$f = f_H$ 时,

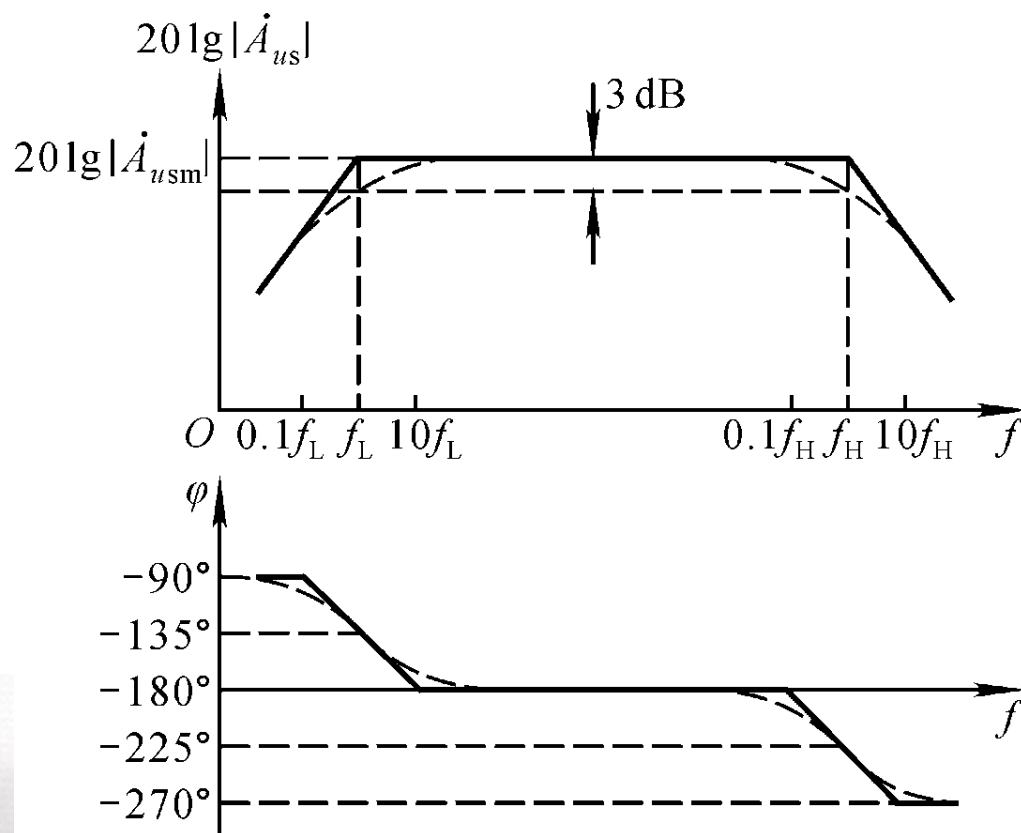
$$20\lg|\dot{A}_{ush}| \text{下降} 3\text{dB}, \quad \varphi = -225^\circ$$

$f \gg f_H$ 时, f 每增大10倍, $20\lg|\dot{A}_{ush}|$ 下降20dB;

$f \rightarrow \infty$ 时, $|\dot{A}_{ush}| \rightarrow 0, \quad \varphi \rightarrow -270^\circ.$



4. 电压放大倍数的波特图



全频段放大倍数表达式:

$$\begin{aligned}\dot{A}_{us} &= \frac{\dot{U}_o}{\dot{U}_s} \\ &= \frac{\dot{A}_{usm}(j\frac{f}{f_L})}{(1+j\frac{f}{f_L})(1+j\frac{f}{f_H})} \\ &= \frac{\dot{A}_{usm}}{(1+\frac{f_L}{jf})(1+j\frac{f}{f_H})}\end{aligned}$$



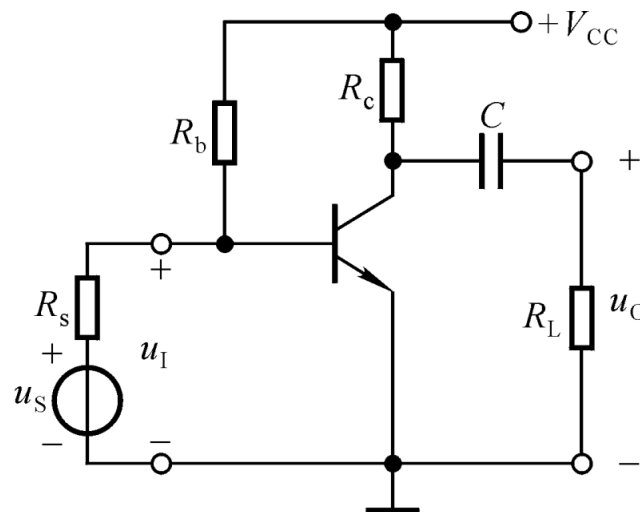
5. 带宽增益积：定性分析

$$\dot{A}_{usm} = \frac{R_i}{R_s + R_i} \cdot \frac{r_{b'e}}{r_{be}} \cdot [-g_m (R_c // R_L)]$$

$$f_{bw} = f_H - f_L \approx f_H$$

$$f_H = \frac{1}{2\pi [r_{b'e} // (r_{bb'} + R_b // R_s)] C_\pi'}$$

$$C_\pi' \approx C_\pi + (1 + g_m R_L') C_\mu$$



带宽增益积 $|\dot{A}_{um} f_{bw}| \approx |\dot{A}_{um} f_H|$

$$\begin{cases} g_m R_L' \uparrow \rightarrow C_\pi' \uparrow \rightarrow f_H \downarrow \\ g_m R_L' \uparrow \rightarrow |\dot{A}_{um}| \uparrow \end{cases} \rightarrow \text{矛盾}$$

当提高增益时，
带宽将变窄；反
之，增益降低，
带宽将变宽。

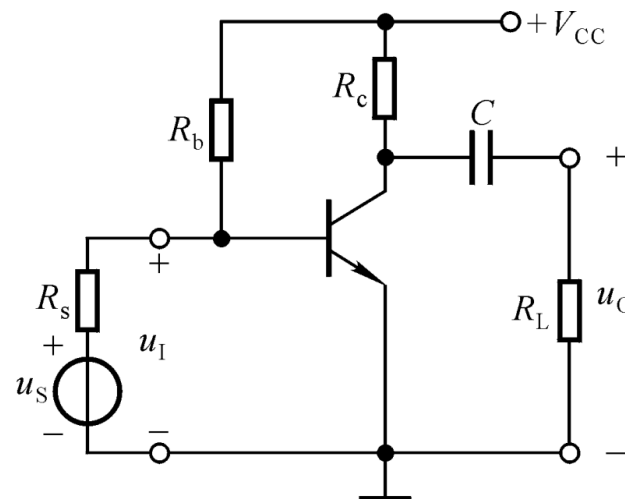


5. 带宽增益积：定量分析

根据
$$\dot{A}_{usm} = \frac{R_i}{R_s + R_i} \cdot \frac{r_{b'e}}{r_{be}} \cdot [-g_m (R_c // R_L)]$$

$$f_H = \frac{1}{2\pi [r_{b'e} // (r_{bb'} + R_b // R_s)] C_{\pi}'}$$

$$C_{\pi}' \approx C_{\pi} + (1 + g_m R_L') C_{\mu}$$



若 $r_{be} \ll R_b$ 、 $R_s \ll R_b$ 、 $g_m R_L' \gg 1$ 、 $C_{\pi}' \approx g_m R_L' C_{\mu}$ ，则可
以证明图示电路的

约为常量

$$|\dot{A}_{um} f_H| \approx \frac{1}{2\pi (\underline{r_{bb'}} + \underline{R_s}) \underline{C_{\mu}}}$$

说明决定于
管子参数

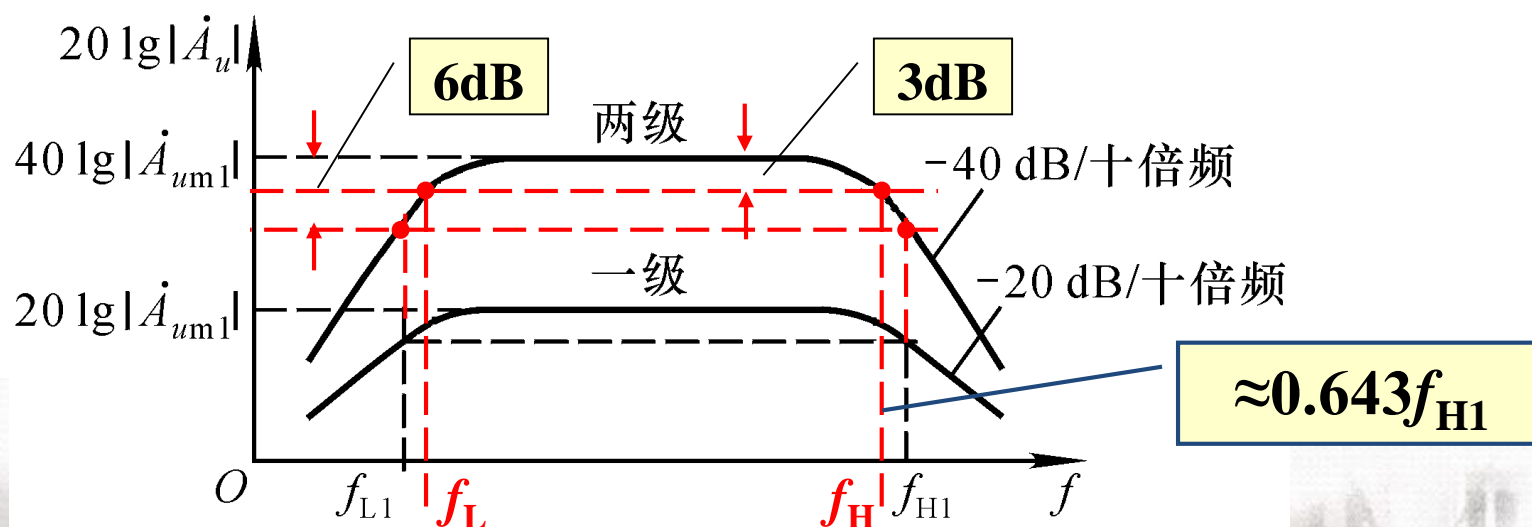
对于大多数放大电路，增益提高，带宽都将变窄。
要想制作宽频带放大电路需用高频管，必要时需采用共基电路。



二、多级放大电路的频率响应

1. 讨论：一个两级放大电路每一级（已考虑了它们的相互影响）的幅频特性均如图所示。

$$20\lg|\dot{A}_u| = 20\lg|\dot{A}_{u1}| + 20\lg|\dot{A}_{u2}| = 40\lg|\dot{A}_{u1}|$$



$f_L > f_{L1}$, $f_H < f_{H1}$, 频带变窄!



2. 多级放大电路的频率响应与各级的关系

对于 n 级放大电路，若各级的下、上限频率分别为 $f_{L1} \sim f_{Ln}$ 、 $f_{H1} \sim f_{Hn}$ ，整个电路的下、上限频率分别为 f_L 、 f_H ，则

$$\begin{cases} f_L > f_{Lk} \\ f_H < f_{Hk} \\ f_{bw} < f_{bwk} \end{cases} \quad (k = 1, 2, \dots, n)$$

由于

$$\begin{cases} 20\lg|\dot{A}_u| = \sum_{k=1}^n 20\lg|\dot{A}_{uk}| \\ \varphi = \sum_{k=1}^n \varphi_k \end{cases}$$

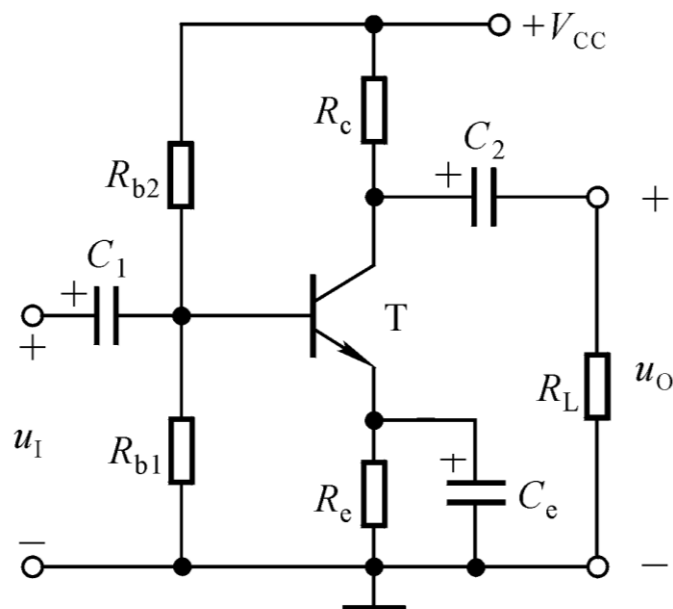
求解使增益下降3dB的频率，经修正，可得

$$f_L \approx 1.1 \sqrt{\sum_{k=1}^n f_{Lk}^2} \quad \frac{1}{f_H} \approx 1.1 \sqrt{\sum_{k=1}^n \frac{1}{f_{Hk}^2}}$$

1.1为修正系数



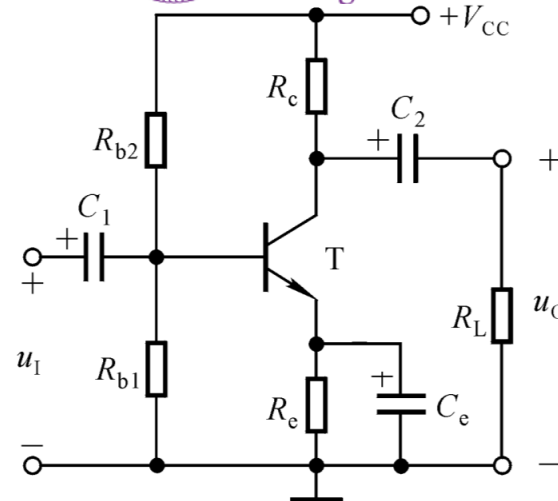
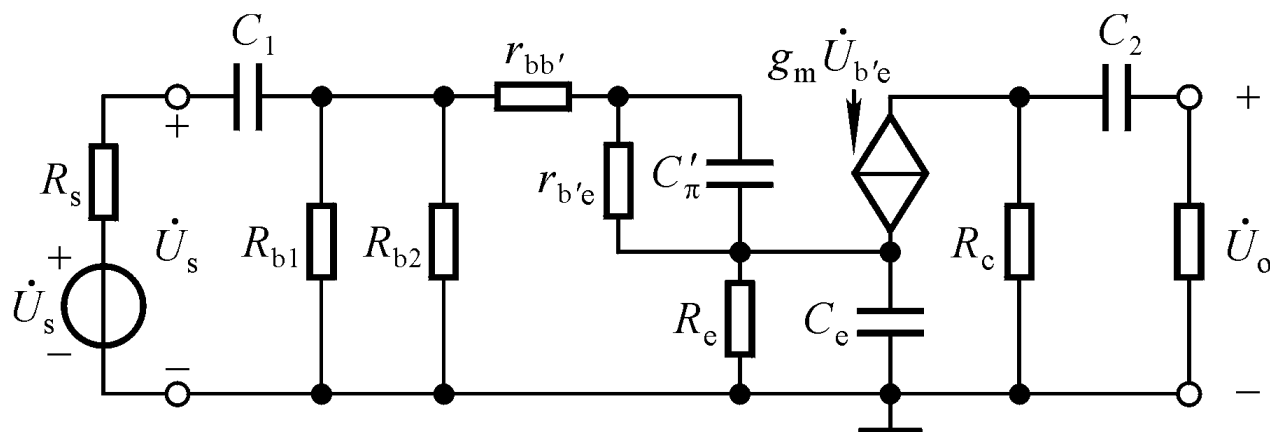
讨论一



1. 信号频率为 $0 \sim \infty$ 时电压放大倍数的表达式?
2. 若所有的电容容量都相同, 则下限频率等于多少?



时间常数分析



分别考虑 C_1 、 C_2 、 C_e 、 C'_π 所确定的截止频率。

C_2 、 C_e 短路， C'_π 开路，求出

$$\tau_1 = (R_s + R_{b1} // R_{b2} // r_{be})C_1$$

C_1 、 C_e 短路， C'_π 开路，求出

$$\tau_2 = (R_c + R_L)C_2$$

C_1 、 C_2 短路， C'_π 开路，求出

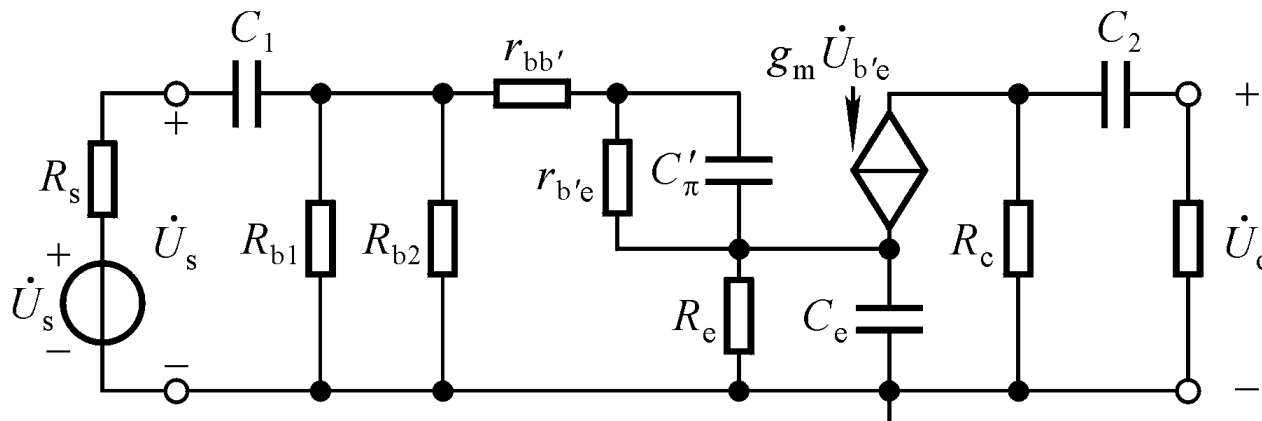
$$\tau_e = (R_e // \frac{r_{be} + R_s // R_{b1} // R_{b2}}{1 + \beta})C_e$$

C_1 、 C_2 、 C_e 短路，求出

$$\tau_{C'_\pi} = [r_{b'e} // (r_{bb'} + R_s // R_{b1} // R_{b2})]C'_\pi$$



电压放大倍数



$$\tau_1 = (R_s + R_{b1} // R_{b2} // r_{be})C_1$$

$$\tau_2 = (R_c + R_L)C_2$$

$$f_{L1} = 1/(2\pi\tau_1)$$

$$f_{L2} = 1/(2\pi\tau_2)$$

$$f_{L3} = 1/(2\pi\tau_e)$$

$$f_H = 1/(2\pi\tau_{C_\pi})$$

$$\tau_e = (R_e // \frac{r_{be} + R_s // R_{b1} // R_{b2}}{1 + \beta})C_e$$

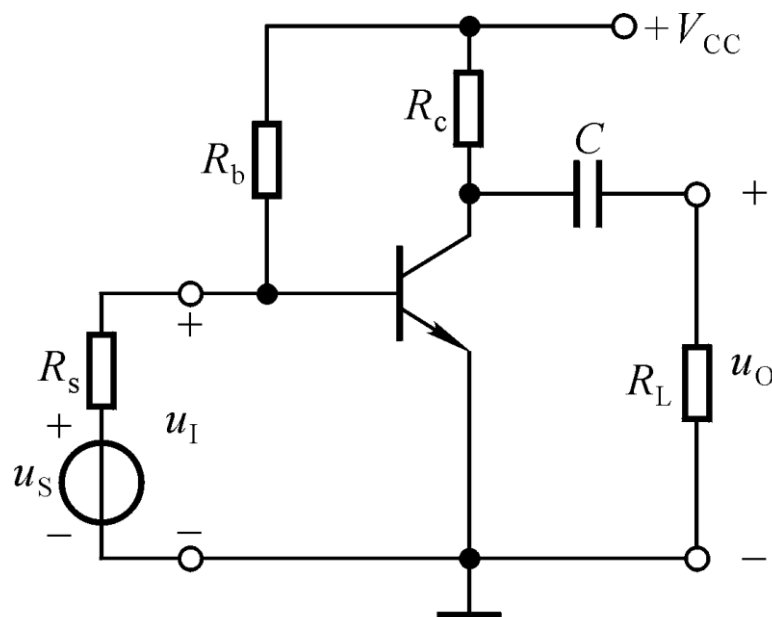
很小!

$$\tau_{C_\pi} = [r_{b'e} // (r_{bb'} + R_s // R_{b1} // R_{b2})]C_\pi$$

$$\dot{A}_u = \dot{A}_{um} \cdot \frac{j^3 f^3 / f_{L1} f_{L2} f_{L3}}{(1 + jf / f_{L1})(1 + jf / f_{L2})(1 + jf / f_{L3})(1 + jf / f_H)}$$



讨论二



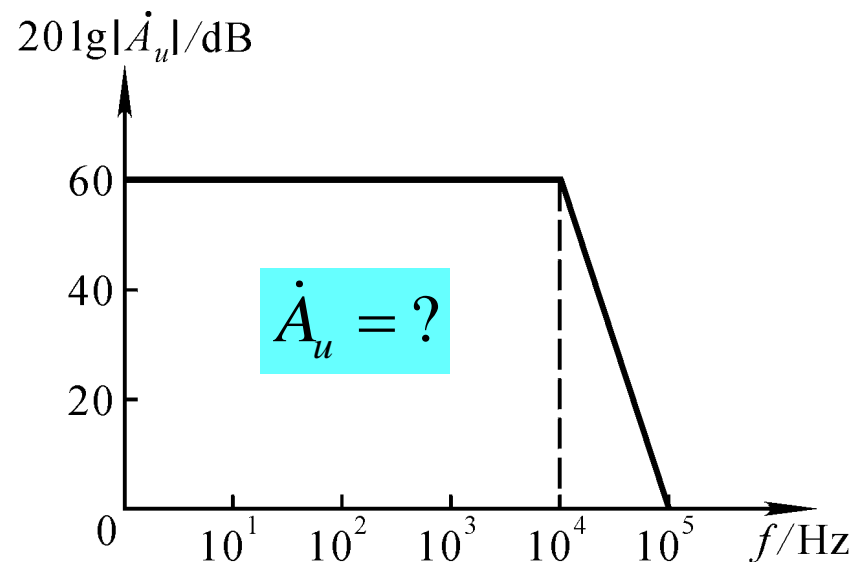
已知 $V_{CC}=15V$, $R_S=1k\Omega$, $R_B=20k\Omega$, $R_C=R_L=5k\Omega$,
 $C=5\mu F$, 晶体管的 $U_{BEQ}=0.7V$, $r_{bb'}=100\Omega$, $\beta=100$,
 $f_\beta=0.5MHz$, $C_{ob}=5pF$ 。试估算电路的截止频率, 并画出
幅频和相频的波特图。



讨论三

已知某放大电路的幅频特性如图所示，讨论下列问题：

1. 该放大电路为几级放大电路？
2. 耦合方式？
3. 在 $f = 10^4 \text{Hz}$ 时，增益下降多少？附加相移 $\varphi' = ?$
4. 在 $f = 10^5 \text{Hz}$ 时，附加相移 $\varphi' \approx ?$
5. 画出相频特性曲线；
6. $f_H = ?$





讨论四

已知两级共射放大电路的电压放大倍数为：

$$\dot{A}_u = \frac{200 \cdot jf}{\left(1 + j\frac{f}{5}\right)\left(1 + j\frac{f}{10^4}\right)\left(1 + j\frac{f}{2.5 \times 10^5}\right)}$$

1. $A_{um}=?$, $f_L=?$, $f_H=?$

2. 画出波特图。

$$\dot{A}_u = \frac{10^3 \cdot j\frac{f}{5}}{\left(1 + j\frac{f}{5}\right)\left(1 + j\frac{f}{10^4}\right)\left(1 + j\frac{f}{2.5 \times 10^5}\right)}$$

$$\dot{A}_{um} = 10^3$$

$$f_L = 5\text{Hz}$$

$$f_H \approx 10^4\text{Hz}$$

